

Evidence of Dust Grain Evolution from Extinction Mapping in the IC 63 Photodissociation Region (Van de Putte et al.)

Abstract

Photodissociation regions (PDRs) are parts of the ISM consisting of predominantly neutral gas, located at the interface between H II regions and molecular clouds. The physical conditions within these regions show variations on very short spatial scales, and therefore PDRs constitute ideal laboratories for investigating the properties and evolution of dust grains. We have mapped IC 63 at high resolution from the UV to the NIR (275 nm to 1.6 μ m), using the *Hubble Space Telescope* WFC3. Using a Bayesian SED fitting tool, we simultaneously derive a set of stellar (T_{eff} , $\log(g)$), distance and extinction (A_V , R_V) parameters for 520 background stars. We present maps of A_V and R_V with a resolution of 25 arcsec based on these results. The extinction properties vary across the PDR, with values for A_V between 0.5 and 1.4 mag, and a decreasing trend in R_V , going from 3.7 at the front of the nebula to values as low as 2.5 further in. This provides evidence for evolution of the dust optical properties. We fit two modified blackbodies to the MIR and FIR SED, obtained by combining the A_V map with data from *Spitzer* and *Herschel*. We derive effective temperatures (30 and 227 K) and the ratio of opacities at 160 μ m to V band κ_{160}/κ_V (7.0×10^{-4} and 2.9×10^{-9}) for the two dust populations. Similar fits to individual pixels show spatial variations of κ_{160}/κ_V . The analysis of our *HST* data, combined with these *Spitzer* and *Herschel* data, provides the first panchromatic view of dust within a PDR.

Unified Astronomy Thesaurus concepts: Interstellar medium (847); Photodissociation regions (1223); Interstellar dust extinction (837)

Overview

光解離領域(PDR)でのダスト進化(変性)に減光曲線から追跡
HSTの観測でIC63へ背景にある星のUV to NIR SEDを取得
SED as 星と成光のパラメタを得るコード(BEAST; Gordon+2016)を使用
PDR front & inside の $R_V = A_V/E(B-V)$ が異なることを示す
Herschel, Spitzerの観測と比較、得られた A_V が妥当であることを確認

BEAST code

(HSTの)測定データから星と成光のパラメタを導出する計算コード.
恒星進化、恒星大気スペクトルのgridと内部を持ており fitting は簡単
減光曲線は次のようしてモデル化されている

$$k_\lambda(R_V, f_A) = f_A k_{\lambda,A}(R_V) + (1 - f_A) k_{\lambda,B}.$$

A_V で規格化した減量
MW-like 減光曲線
($R_V = 3.14$ に持つ)
SHC-like to UV bump ない
減光曲線

Results & Discussion

IC63 の A_V および R_V の 25'' を作成することに成功。 $(25'' \times 25'', \sim 0.023 \text{ pc})$
星雲内での A_V は 0.5 ~ 1.4 mag 程度、 R_V は PDR front で 3.7、内部で 2.5 程度。
PDR front でダストが大きくなることを示唆している (high gas densityによるダスト成長?)

MIR-FIRでも空間分解してダストの特性を調べた。

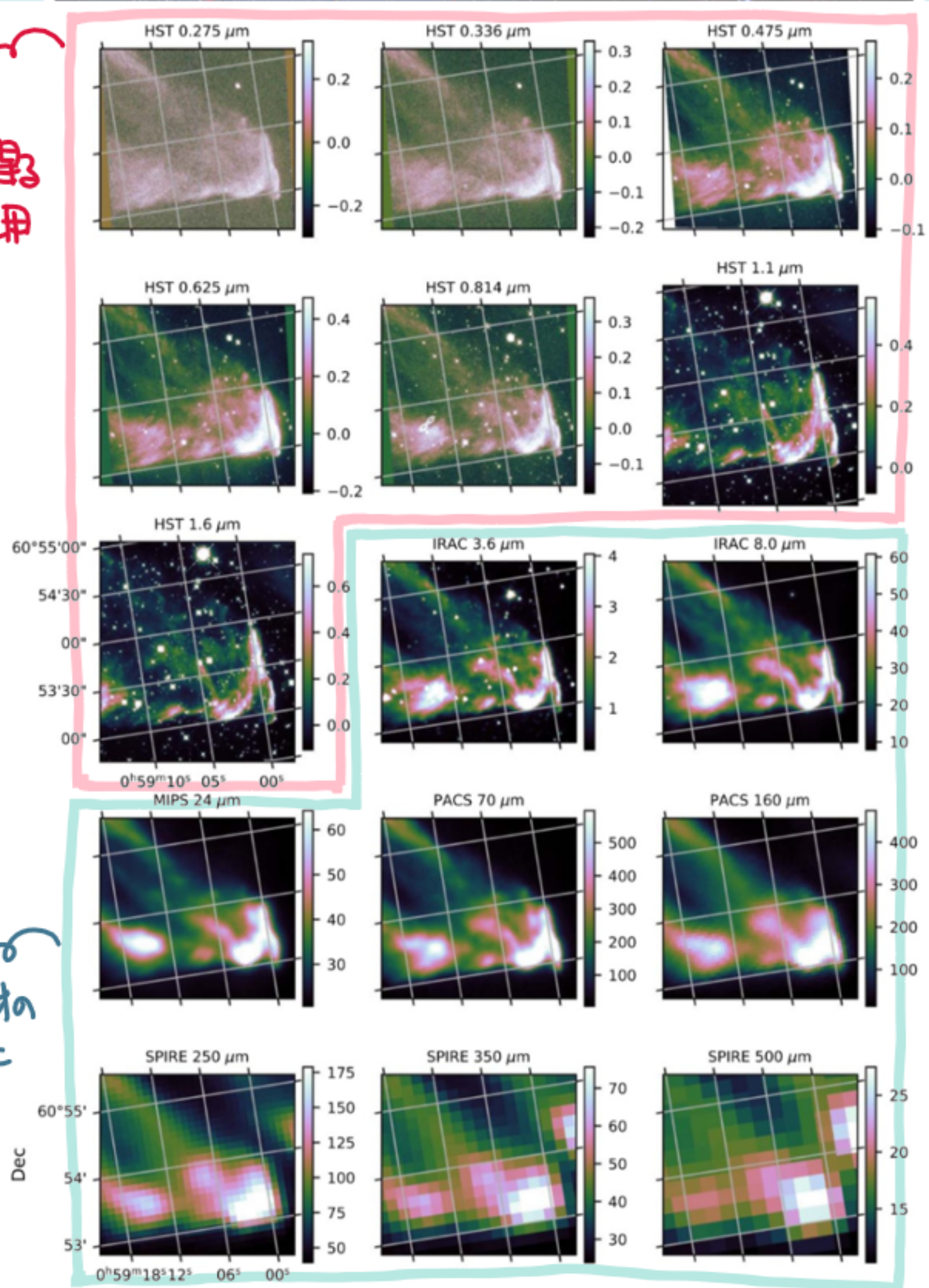
$\tau_{160\mu\text{m}} \propto A_V$ の比 (κ_{160}/κ_V) が IC63 の South Edge で excess を示した。

物理的な原因は同定できていない (PDR front でダストが変化が生じている?)

Comments

似たようなサインスモア dense to cloud でできること
金属元素での dust budget の問題への影響 impact があるかもしれません。Conclusion で読むところも複数ある

背景星の
SEDを得
るために使用



PDR放射の
モデル化に
使用

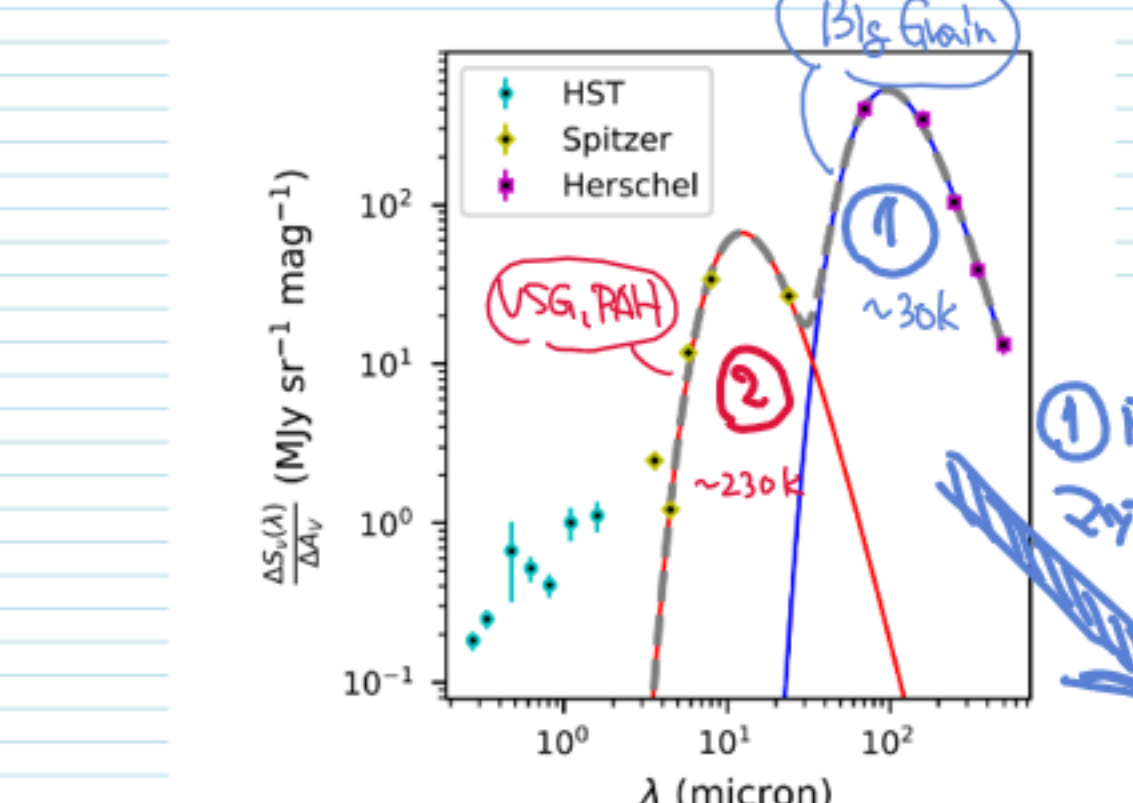


Figure 17. Surface brightness per A_V unit for each of the MIR and FIR observations provided by *Spitzer* and *Herschel*, and modified blackbody fits to these data. The points for the HST data are added for completeness, but are not used in the blackbody fits. The A_V 's are calculated by fitting slopes to the scatter plots in Figures 14–16. Red: fit to the IRAC and MIPS 24 points, ignoring the IRAC 3.6 point. Blue: fit to the PACS and SPIRE points. Gray dashed: combined model, fitting both sets of points.

右上図. IC 63 の平均的な SED

IC 63 の MIR-FIR emission は VSG + BG gray body で説明可能。

右図. 未線による IC 63 ダスト 25''

gray body の β 固定した結果で議論する (Type degeneracy の因)

星雲の横断する温度の変化は ~5 K 程度か見てない (Orion bar)

減光の得た A_V の比 (κ_{160}/κ_V) で IC 63 の South Edge で excess?

R_V が enhance 成長した場合と仮定

おなじ着色下で成る場合と、 β の空間分布...今日のデータ解析では未達成

右図. BEAST による fit 結果

出力は 距離(d)、金属量(Z)、年齢(t)、初期質量(M_{ini})
減光曲線パラメタ(f_A , R_V , A_V)
● は fit の χ^2 が大きい星、● は BEAST 個々問題で
1つも大きなミスマッチに問題ないと思われる星。

右下図. 25''-grid での成光 25''

上段は A_V 、下段は $R_V = 2.5$ (左)、誤差 (中) 各々 grid は属する星の標準偏差から計算している。
左: gray scale は PACS 350 μ m の画像 (dust emission).
grid size は 25'' で 距離 ~ 180 pc で 仮定すると 0.023 pc に相当

pixel 単位での誤差は大きいが $A_V = 350 \mu\text{m}$ の標準偏差と一致。
⇒ BEAST による 分布を正しく得たことになる
IC 63 の外部で $A_V \sim 2.5$ mag. (foreground 成分)、IC 63 の内部
寄りでより $\Delta A_V \sim 0.5$ ~ 1.4 mag. 程度。

R_V も誤差は大きいが、PDR from (~3.2) ACI 内部 (~3.4)

における 大粒のトドードが あるように見える。

foreground 寄りを除く $\Delta A_V \sim 2.7 \rightarrow 2.5$ Gyr の変化になる。

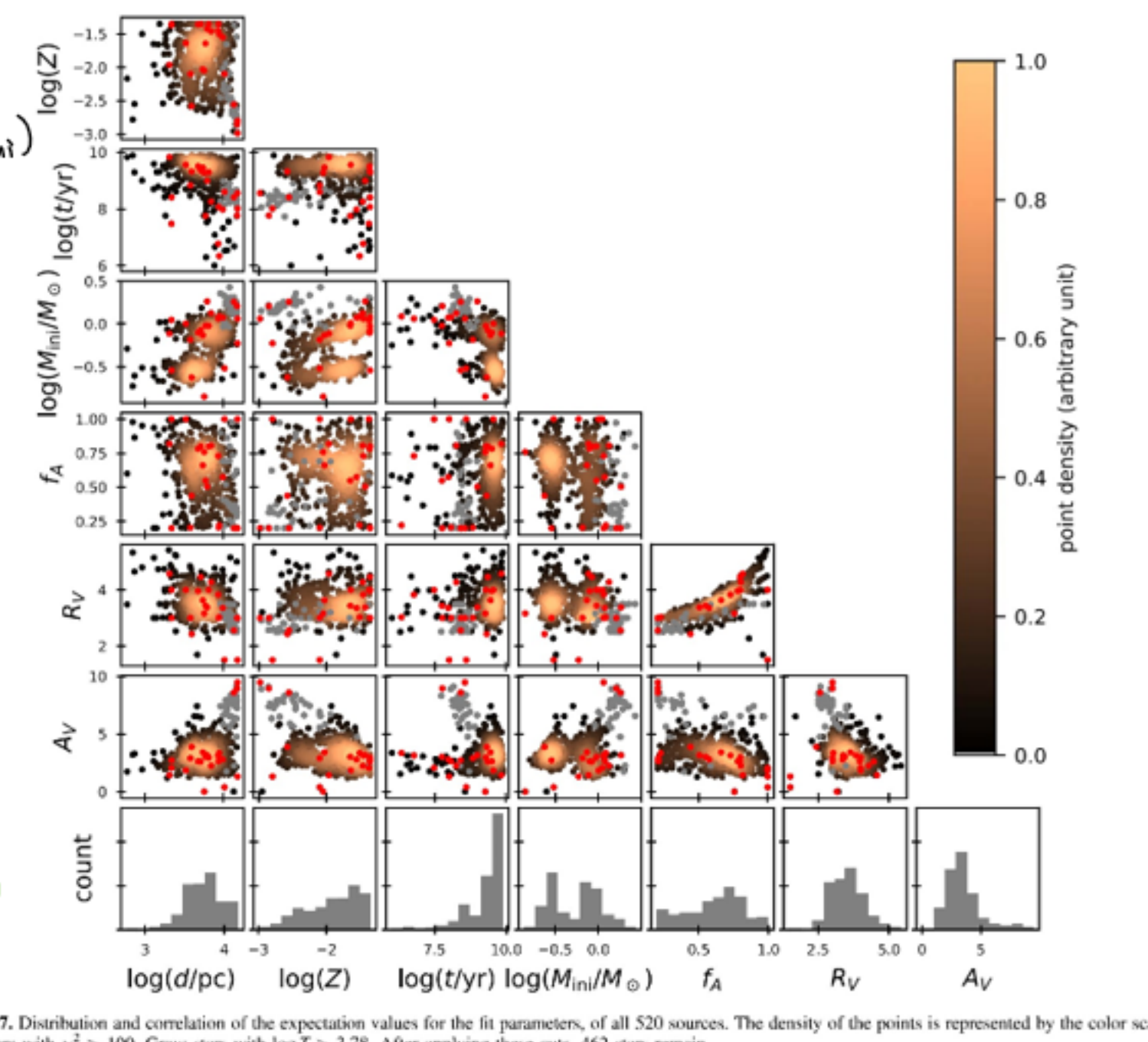
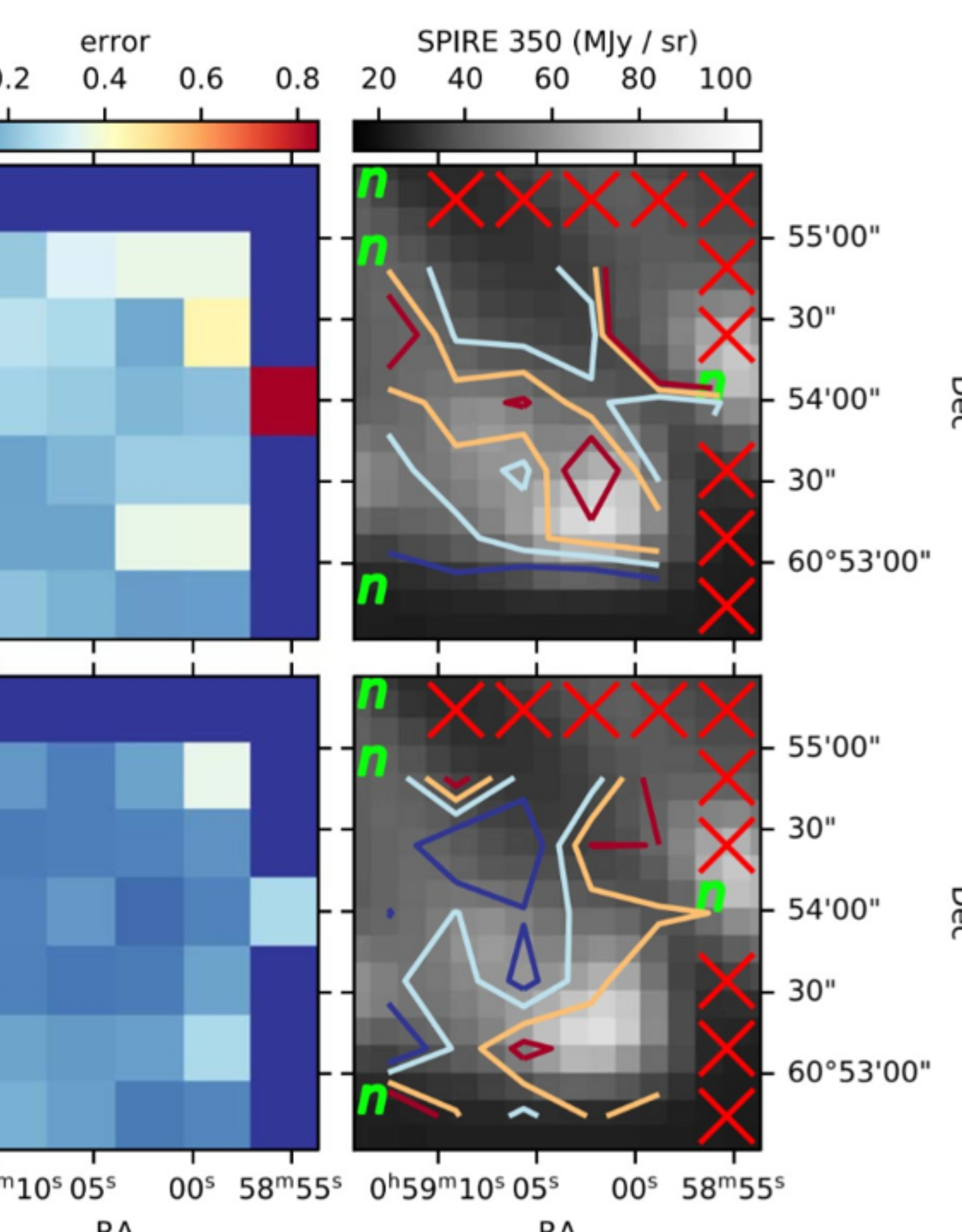
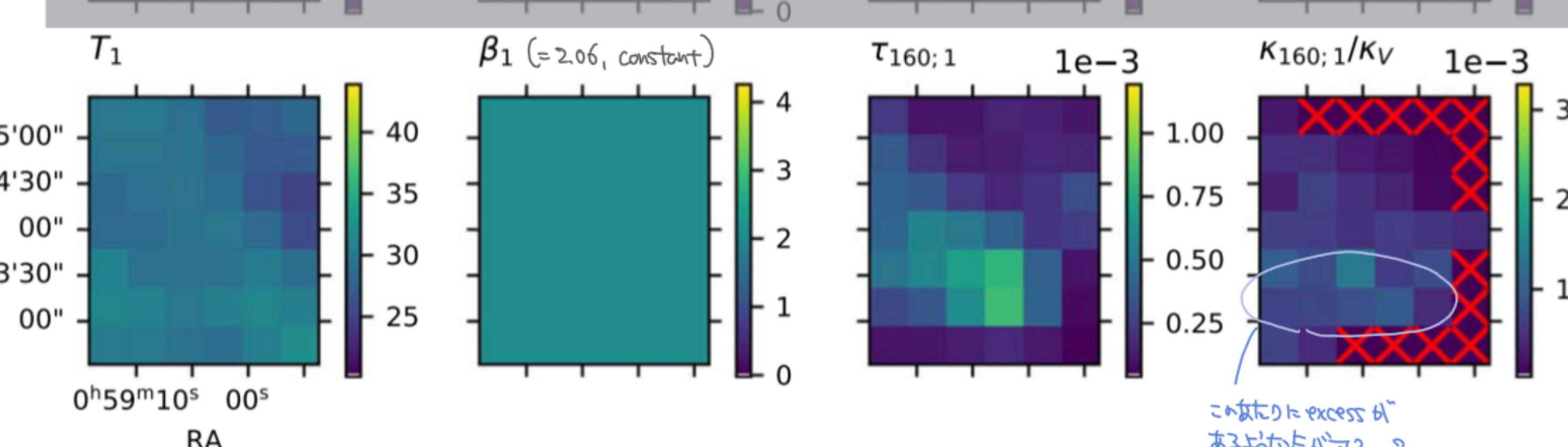
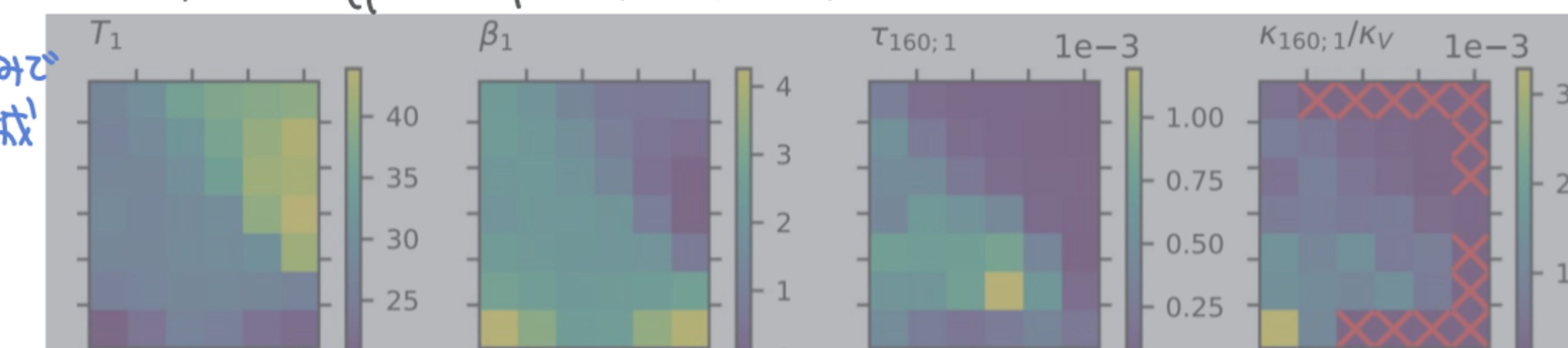


Figure 7. Distribution and correlation of the expectation values for the fit parameters of all 520 sources. The density of the points is represented by the color scale. Red: stars with $\chi^2 > 100$. Gray: stars with $\log T > 3.78$. After applying these cuts, 462 stars remain.



今回、上の段 (β_1 : free parameter) は議論しない



これが excess の
あるような気がする...?

It is the first time that this type of measurement has been made for a PDR. This approach was possible for IC 63 because of its low optical depth, making this PDR transparent for a sufficient number of detectable background sources. This same technique would therefore also be applicable to IC 59. Most other PDRs, such as the Horsehead nebula, the Orion bar, and NGC 7023, have much higher optical depths and would not allow a sufficient amount of background stars to be measured.